

УДК 546.719:546.24:548.736

**КРИСТАЛЛИЧЕСКАЯ СТРУКТУРА КОМПЛЕКСОВ ТРАНС-[Re₆S₈(CN)₂L₄],
ГДЕ L — ПИРИДИН ИЛИ 4-МЕТИЛПИРИДИН**

© 2012 А.Ю. Леднева¹, Н.Г. Наумов^{1*}, А.В. Вировец¹, С. Кордиер², Я. Молард²

¹Учреждение Российской академии наук Институт неорганической химии им. А.В. Николаева СО РАН,
Новосибирск

²Университет Рен-1, г. Рен, Франция

Статья поступила 21 декабря 2010 г.

Методом рентгеноструктурного анализа установлено строение трех новых октаэдрических кластерных соединений рения [Re₆S₈(CN)₂(py)₄]·H₂O (**1**), [Re₆S₈(CN)₂(4-Меру)₄] (**2**), [Re₆S₈(CN)₂(4-Меру)₄]·4-Меру (**3**) (py — пиридин, 4-Меру — 4-метилпиридин). Кристаллографические характеристики: пр. гр. C₂/m, *a* = 14,813(1), *b* = 14,772(1), *c* = 9,2122(6) Å, β = 119,085(2)°, *V* = 1761,7(2) Å³, *d*_x = 3,318 г/м³, *R* = 0,0585 (**1**); пр. гр. I₄₁/amd, *a* = 16,0018(3), *c* = 14,7186(5) Å, *V* = 3768,81(16) Å³, *d*_x = 3,169 г/м³, *R* = 0,0489 (**2**); пр. гр. P₂₁/c, *a* = 9,0452(4), *b* = 15,8065(7), *c* = 15,2951(6) Å, β = 103,700(2)°, *V* = 2124,57(16) Å³, *d*_x = 2,957 г/м³, *R* = 0,0245 (**3**). Молекулярные кластерные комплексы связываются между собой посредством стэкингового π — π -взаимодействия, образуя трехмерные сетки для **1** и **2** и цепочечную структуру соединения **3**.

Ключевые слова: рений, октаэдрический кластер, кристаллическая структура, стэкинг-взаимодействие, топологический анализ упаковок.

Химия кластерных комплексов активно развивается последние несколько десятилетий [1—6]. К настоящему времени получено большое число комплексов с различными апикальными лигандами как заряженными (галогениды, цианид), так и нейтральными (алкилфосфины, CH₃CN, ДМФА и др.). Полученные комплексы обладают интересными люминесцентными, окислительно-восстановительными и другими свойствами [7—11]. Было синтезировано несколько кластерных комплексов, содержащих в качестве терминальных лигандов пиридин и его производные [5, 12]. Успешное внедрение терминальных пиридиновых лигандов, задание строгой геометрии комплекса открывает интересную область возможности функционализации кластера, изменения его основности, окислительно-восстановительных и люминесцентных свойств. В этой статье мы сообщаем о синтезе и строении трех новых соединений, имеющих терминальные пиридиновые лиганды и заданную геометрию кластерного фрагмента.

Синтез. Соединения **1**—**3** получены как побочные продукты в реакции 0,5 г (0,25 ммоль) Cs₄Re₆S₉(CN)₄ с 2 мл пиридина (4-метилпиридин) в присутствии 0,5 мл воды при температуре 150 °C в течение двух суток. Основным продуктом являются растворимые соединения состава Cs₂[Re₆S₈(CN)₄(L)₂] (L = py, 4-Меру). Нерастворимые кристаллы соединений **1**—**3** вырастают в небольшом количестве (2—3 мг) на стенках ампулы.

Соединение **1**: EDS: Re:S = 6:8,1. ИК спектр, см⁻¹: ν(CN) 2118, ν(Re—S) 413, ν и δ (H₂O) 1604, 3400, 3590; полосы, соответствующие колебаниям пиридина: 615, 642, 690, 756, 1064, 1147, 1215, 1376, 1446, 1481, 1629, 1685, 2919.

Соединение **2**: ИК спектр, см⁻¹: ν(CN) 2123, ν(Re—S) 414; полосы, соответствующие колебаниям 4-метилпиридинина: 620, 664, 716, 805, 980, 1032, 1059, 1233, 1380, 1500, 1619, 1677, 2922.

* E-mail: naumov@niic.nsc.ru

Таблица 1

Кристаллографические данные и характеристики дифракционных экспериментов соединений 1—3

Параметр	1	2	3
Эмпирическая формула	C ₂₂ H ₂₂ N ₆ ORe ₆ S ₈	C ₂₆ H ₂₈ N ₆ Re ₆ S ₈	C ₃₂ H ₃₅ N ₇ Re ₆ S ₈
Молекулярный вес, г/моль	1760,14	1799,22	1891,35
Сингония, пр. гр.	Моноклинная, <i>C2/m</i>	Тетрагональная, <i>I4₁/amd</i>	Моноклинная, <i>P2₁/c</i>
Параметры ячейки (a, b, c, Å; β, град.)	14,8132(10), 14,7725(10), 9,2122(6); 119,085(2)	16,0018(3), 14,7186(5)	9,0452(4), 15,8065(7), 15,2951(6); 103,700(2)
Объем, Å ³	1761,7(2)	3768,81(16)	2124,57(16)
Z, вычисленная плотность, г/м ³	2, 3,318	4, 3,169	2, 2,957
Коэффициент поглощения, мм ⁻¹	21,034	19,666	7,451
F(000)	1564	3216	1708
Размер кристалла, мм	0,08×0,05×0,02	0,08×0,08×0,05	0,15×0,05×0,04
Диапазон θ, град.	2,53—31,33	2,55—31,48	1,88—31,48
Предельные индексы Миллера	-20 ≤ h ≤ 18, -16 ≤ k ≤ 20, -11 ≤ l ≤ 12	-23 ≤ h ≤ 23, -22 ≤ k ≤ 21, -20 ≤ l ≤ 13	-8 ≤ h ≤ 12, -22 ≤ k ≤ 18, -21 ≤ l ≤ 22
Измер. / независ. рефлексов	7413 / 2384 [R(int) = 0,0355]	16622 / 1530 [R(int) = 0,0321]	20393 / 5802 [R(int) = 0,0196]
GOOF	1,090	1,057	1,204
R по I > 2σ(I)	R ₁ = 0,0392, wR ₂ = 0,0639	R ₁ = 0,0224, wR ₂ = 0,0505	R ₁ = 0,0162, wR ₂ = 0,0424
R по всем рефлексам	R ₁ = 0,0585, wR ₂ = 0,0681	R ₁ = 0,0489, wR ₂ = 0,0634	R ₁ = 0,0245, wR ₂ = 0,0556
Пики электронной плотности макс/мин, е·Å ⁻³	1,820/ -1,145	1,373/ -0,826	1,982/ -2,050

Соединение 3: ИК спектр, см⁻¹: ν(CN) 2122, ν(Re—S) 415; полосы, соответствующие колебаниям 4-метилпиридина: 619, 664, 808, 980, 1031, 1064, 1385, 1497, 1620, 1678, 2920.

Рентгеноструктурные исследования. Рентгеноструктурный анализ (PCA) проводили на автоматическом дифрактометре Brucker-Nonius X8 APEX CCD. Использовали излучение MoK_α ($\lambda = 0,71073 \text{ \AA}$) с графитовым монохроматором. Первичные данные, включающие параметры ячейки, индексы Миллера и интенсивности измеренных отражений, обрабатывали с использованием программного обеспечения, поставляемого с дифрактометром. Учет поглощения проводили по усреднению эквивалентных отражений с помощью программы SADABS. Все структуры были расшифрованы прямым методом, используя программы SHELXS (пакет программ SHELXL), и уточнены полноматричным МНК по F², используя программы SHELXL одноименного пакета программ. Атомы водорода молекул воды соединения 1 не были локализованы, атомы водорода органических лигандов в соединениях 1—3 локализованы геометрически. Топологию упаковок анализировали с помощью комплекса программ TOPOS 4.0 Professional [13]. Кристаллографические характеристики соединений 1—3 представлены в табл. 1. Координаты и тепловые параметры атомов депонированы в Кембриджском банке структурных данных — CCDC 804369-804371, а также могут быть получены у авторов.

Инфракрасная спектроскопия. ИК спектры в диапазоне 4000—400 см⁻¹ снимали для образцов в виде таблеток с бромидом калия на ИК спектрометре Scimitar FTS 2000 (ИНХ СО РАН).

Рис. 1. Строение кластерного комплекса **1** (тепловые эллипсоиды 50 % вероятности)

РЕЗУЛЬТАТЫ И ИХ ОБСУЖДЕНИЕ

Строение. В соединениях **1—3** кластерное ядро {Re₆S₈}²⁺ представляет собой октаэдр из атомов рения, к каждой грани которого координированы лиганды μ_3 -S. К каждому атому рения дополнительно координирован терминальный лиганд CN⁻ или L (L — py, 4-Меру). Такое строение является типичным для октаэдрических комплексов рения. Цианиды занимают транс-положение, а лиганды L лежат в экваториальной плоскости октаэдра (рис. 1). Средние расстояния Re—Re, Re—S, Re—C, Re—N также являются типичными (табл. 2).

Расстояния Re—N для соединений **1—3** подобны расстояниям для кластерных комплексов (Bu₄N)₂транс-[Re₆S₈Cl₄(py)₂][·]2CH₃CN·2H₂O (2,18 Å), комплексов (Bu₄N)₂транс-[Re₆S₈Cl₄(cipy)₂] (2,21 Å), (Bu₄N)мер-[Re₆S₈Cl₃(py)₃] (2,19 Å), (Bu₄N)транс-[Re₆S₈Cl₄(py)₂] (2,16 Å) [5] и [Re₆S₈(py)₆][SbF₆]₂ (2,22 Å) [14], но длиннее, чем для моноядерных комплексов рения(III) [ReCl(HBpz)₃(OPh)(py)][·]C₆D₆ (2,146 Å, HBpz — гидрид *трис*-пиразолборан), мер-[ReCl₃(py)₃] (2,116—2,120 Å), (Bu₄N)транс-[ReBr₄(py)₂] (2,12—2,15 Å) [15, 16].

Кластерные молекулы в **1** имеют кристаллографическую точечную симметрию C_{2h}, близкую к идеализированной D_{4h}, и укладываются слоями, связанными между собой стэкинговым π—π-взаимодействием пиридиновых колец. Центры кластерных ядер лежат в узлах элементарной ячейки, при этом идеализированная ось четвертого порядка молекулы наклонена относительно ребра элементарной ячейки *a* на 7,3°. Каждое пиридиновое кольцо связано стэкингом с двумя другими кольцами от соседних кластеров, в результате образуются "столбцы" из пиридиновых колец. Расстояния между центрами колец составляют 3,57 и 3,90 Å, а расстояния из центра одного кольца до плоскости другого — 3,44 и 3,89 Å соответственно. Плоскости колец

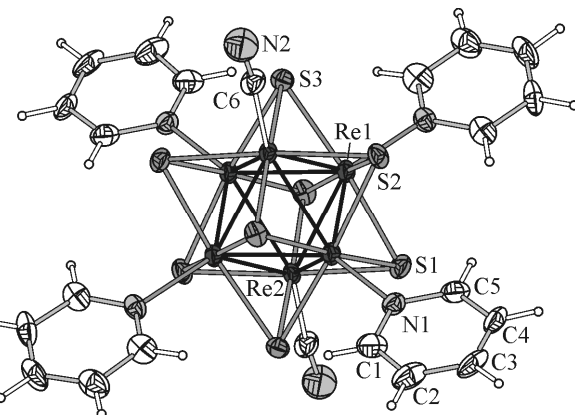


Таблица 2

Длины связей (мин—макс, среднее, Å) соединений **1—3** в сравнении с литературными данными

Соединение	Re—Re	Re—S	Re—C	Re—N
1	2,5868(6)—2,5977(5) (2,593)	2,389(2)—2,401(2) (2,396)	2,12 (1)	2,184(7)
2	2,5914(4)—2,5945(3) (2,593)	2,393(2)—2,413(2) (2,405)	2,10(1)	2,194(6)
3	2,5855(2)—2,5975(2) (2,594)	2,396(2)—2,411(1) (2,405)	2,112(4)	2,173(4)—2,180(4) (2,176)
(Bu ₄ N) ₂ транс-[Re ₆ S ₈ Cl ₄ py ₂] [·] ·2CH ₃ CN·2H ₂ O [1]	2,5868(9)—2,6007(7) (2,5930)	2,383(3)—2,408(4) (2,398)		2,18(1)
(Bu ₄ N) ₂ транс-[Re ₆ S ₈ Cl ₄ cipy] ₂ [1]	2,5851(8)—2,6034(6) (2,5928)	2,391(3)—2,409(3) (2,400)		2,21(1)
(Bu ₄ N)мер-[Re ₆ S ₈ Cl ₃ py ₃] [5]	2,584(1)—2,604(1) (2,594)	2,384(7)—2,415(6) (2,401)		2,16(2)—2,22(2) (2,19)
Cs ₃ KRe ₆ S ₈ (CN) ₆ [2]	2,598(1)—2,608(1) (2,603)	2,399(4)—2,590(4) (2,454)	2,12(2)	
Cs _{1,83} K _{2,17} [Re ₆ S ₈ (CN) ₄ (OH) ₂] [·] 2H ₂ O [6]	2,595(1)—2,604(1) (2,602)	2,393(6)—2,433(5) (2,413)	2,11(4)—2,13(2) (2,12)	
(Bu ₄ N)транс-[Re ₆ S ₈ Cl ₄ pz] ₂ [12]	2,5886(8)—2,6008(6) (2,594)	2,394(3)—2,418(3) (2,405)		2,21(1)

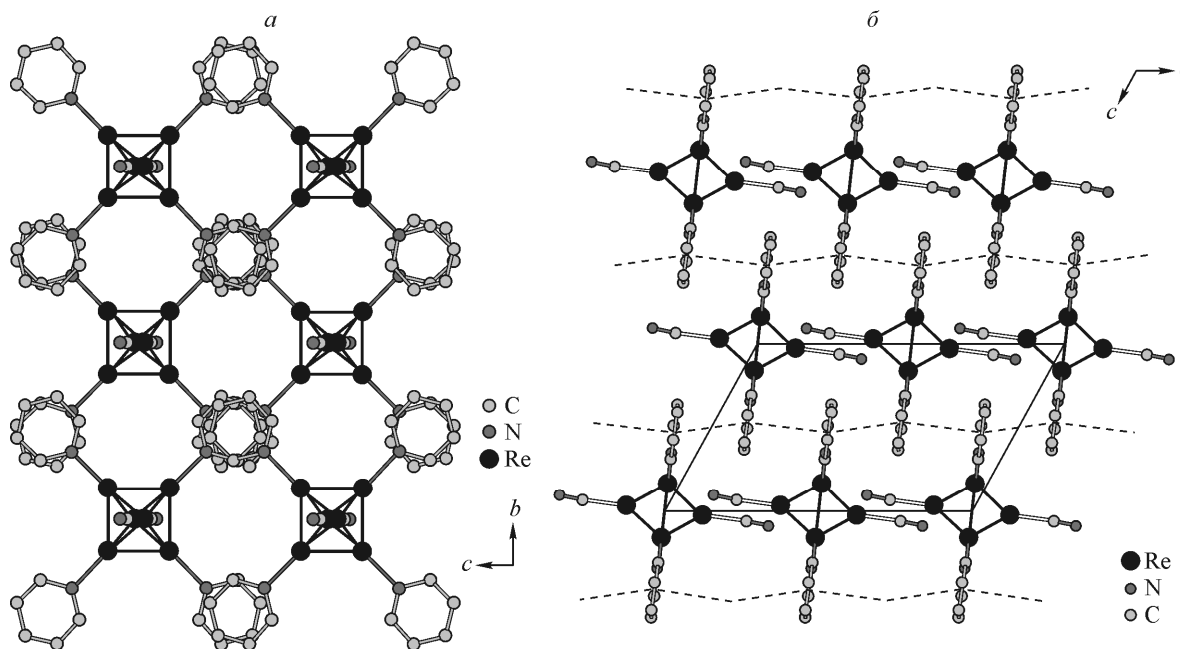


Рис. 2. Упаковка соединения 1: вид вдоль оси *a* (*a*), вид вдоль оси *b* (*b*).

Атомы серы и водорода не указаны. Пунктирной линией обозначены $\pi-\pi$ -взаимодействия между центрами пиридиновых колец

практически параллельны, угол между ними не превышает $3,5^\circ$. В результате молекулы упакованы в пространстве по топологическому мотиву искаженной ГЦК-решетки (рис. 2).

Соединение 2 кристаллизуется в тетрагональной сингонии, пр. гр. $I4_1/amd$. Кластерные фрагменты имеют кристаллографическую симметрию D_{2d} и упаковываются слоями таким образом, что внутри слоя пиридиновые кольца находятся в одной плоскости. Расстояние между крайними атомами углеродов пиридиновых колец соседних кластеров составляет порядка 5—6 Å. Слои располагаются в последовательности *ABAB*, где слой *B* смешен относительно слоя *A* на половину кластера таким образом, что проекция цианогруппы кластеров из слоя *B* попадает в промежуток между пиридиновыми кольцами соседних кластеров слоя *A*. Все пиридиновые кольца располагаются друг над другом, образуя "столбцы", составленные из колец. Двугранный

угол между плоскостями пиридиновых колец не превышает 6° , при этом расстояние между их центрами слоя *A* и *B* составляет 3,70 Å, а перпендикуляр из центра пиридинового кольца слоя *A* на плоскость кольца слоя *B* составляет 3,69 Å. Кратчайшие расстояния между центрами кластерных молекул составляет 8,806 Å, причем каждая молекула окружена четырьмя другими, образуя в пространстве сетку с топологией структуры алмаза (рис. 3).

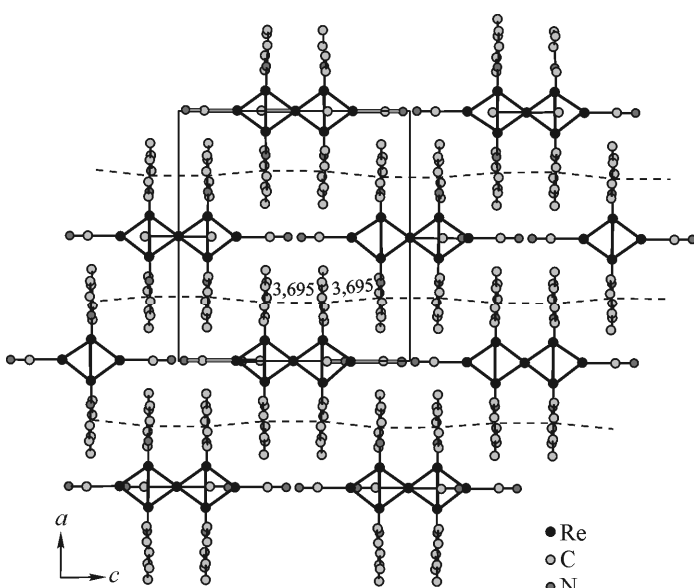


Рис. 3. Упаковка соединения 2, вид вдоль оси *b*.

Атомы серы и водорода не показаны. Пунктирной линией обозначены $\pi-\pi$ -взаимодействия между центрами 4-метилпиридиновых колец

Рис. 4. Цепочки соединения 3.

Атомы водорода и серы не показаны. Пунктирной линией обозначены π — π -взаимодействия между центрами пиридиновых колец

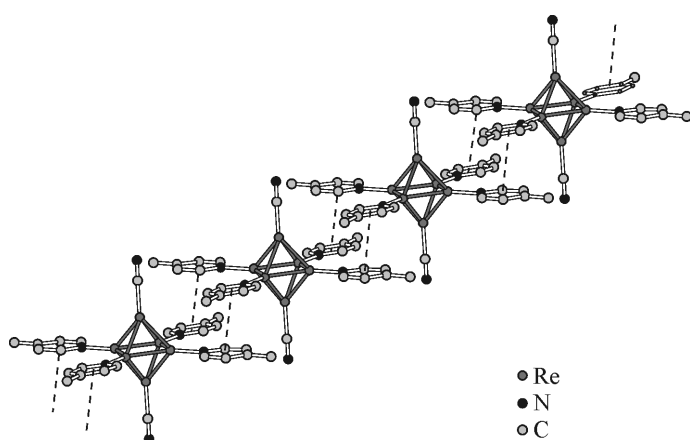
В соединении 3 кластерные молекулы имеют точечную симметрию C_i и связываются между собой в цепочки через π — π -взаимодействия метилпиридиновых колец: 4-Меру-лиганды одного кластера с 4-Меру-лигандами другого кластера, образуя своеобразные "ступеньки". Плоскости пиридиновых колец образуют двугранный угол 7,3°.

Расстояния между центрами плоскостей пиридиновых колец, участвующих в образовании π — π -стэкинга, составляют 3,69 Å. Подобные цепочки укладываются перпендикулярно друг другу, полости между ними занимают разупорядоченные по двум позициям некоординированные молекулы 4-метилпиридина. Кластерные молекулы образуют искаженную примитивную гексагональную упаковку, а располагающиеся в ее полостях сольватные молекулы 4-Меру до-считывают ее до искаженной примитивно-кубической (рис. 4).

Явление π — π -стэкинга ранее наблюдали в кластерных комплексах рения, имеющих пиридиновые лиганды, хотя зачастую и не отмечено авторами оригинальных работ. Так, в [Bu₄N]₂*trans*-[Re₆S₈Cl₄(py)₂] кластерные анионы объединяются в цепочки; расстояние между центрами пиридиновых лигандов, участвующих в образовании π — π -стэкинга, составляет 3,82 Å [17]. Для соединения [Re₆S₈(py)₆][SbF₆] расстояния между центрами пиридиновых лигандов, участвующих в образовании π — π -взаимодействия, составляет 3,57—3,73 Å [14].

Авторы благодарят профессора В.А. Блатова (Самарский государственный университет) за предоставленный в их распоряжение комплекс программ TOPOS 4.0 Professional.

Работа выполнена при финансовой поддержке Российского фонда фундаментальных исследований (грант 09-03-92004-ННС) и междисциплинарного интеграционного проекта СО РАН № 76.



СПИСОК ЛИТЕРАТУРЫ

1. Leduc L., Perrin A., Sergent M. // Acta Crystallogr. C. – 1983. – **39**, N 11. – P. 1503 – 1506.
2. Slougui A., Mironov Y.V., Perrin A. et al. // Croat. Chem. Acta. – 1995. – **68**, N 4. – P. 885 – 890.
3. Gray T.G., Holm R.H. // Inorg. Chem. – 2002. – **41**, N 16. – P. 4211 – 4216.
4. Федоров В.Е., Миронов Ю.В., Наумов Н.Г. и др. // Успехи химии. – 2007. – **76**, N 6. – P. 571 – 595.
5. Yoshimura T., Umakoshi K., Sasaki Y. et al. // Inorg. Chem. – 1999. – **38**, N 24. – P. 5557 – 5564.
6. Naumov N.G., Ledneva A.Y., Kim S.J. et al. // J. Clust. Sci. – 2009. – **20**, N 1. – P. 225 – 239.
7. Yoshimura T., Ishizaka S., Sasaki Y. et al. // Chem. Lett. – 1999. – N 10. – P. 1121 – 1122.
8. Gray T.G., Rudzinski C.M., Nocera D.G. et al. // Inorg. Chem. – 1999. – **38**, N 26. – P. 5932 – 5933.
9. Gray T.G., Rudzinski C.M., Meyer E.E. et al. // J. Amer. Chem. Soc. – 2003. – **125**, N 16. – P. 4755 – 4770.
10. Kobayashi N., Ishizaka S., Yoshimura T. et al. // Chem. Lett. – 2000. – N 3. – P. 234 – 235.
11. Mironov Y.V., Brylev K.A., Shestopalov M.A. et al. // Inorg. Chim. Acta. – 2006. – **359**, N 4. – P. 1129 – 1134.
12. Yoshimura T., Umakoshi K., Sasaki Y. et al. // Inorg. Chem. – 2000. – **39**, N 8. – P. 1765 – 1772.
13. Blatov V.A. // Newsletter Commission on Crystallographic Computing of International Union of Crystallography. – 2006. – N 7. – P. 4 – 38.
14. Zheng Z.P., Gray T.G., Holm R.H. // Inorg. Chem. – 1999. – **38**, N 21. – P. 4888 – 4895.
15. Brown S.N., Mayer J.M. // Organomeallics. – 1995. – **14**. – P. 2951 – 2960.
16. Arp O., Preetz W.Z. // Anorg. Allg. Chem. – 1996. – **622**. – P. 219 – 224.
17. Yoshimura T., Ishizaka S., Umakoshi K. et al. // Chem. Lett. – 1999. – N 7. – P. 697 – 698.